

论著 · 临床研究 doi:10.3969/j.issn.1671-8348.2018.13.010

## 扰动系数在颅脑损伤患者脑水肿监测中的应用价值<sup>\*</sup>

雷清梅<sup>1</sup>,王闪闪<sup>2</sup>,成金妹<sup>3</sup>,钟龙和<sup>2</sup>,包 賢<sup>4</sup>,彭晓洁<sup>5</sup>,唐纯海<sup>4</sup>,朱亚芳<sup>1</sup>,周宏珍<sup>1△</sup>

(1. 南方医科大学南方医院,广州 510515;2. 南方医科大学第一临床医学院,广州 510515;

3. 南方医科大学检验与生物技术学院,广州 510515;4. 南方医科大学南方医院神经外科,  
广州 510515;5. 南方医科大学南方医院重症医学科,广州 510515)

**[摘要]** 目的 探讨扰动系数(DC)在颅脑损伤患者中的应用价值。方法 采用无创脑水肿监测技术对 2016 年 6—11 月该院 54 例颅脑损伤患者进行动态监护,详细记录患者的基本信息、DC、颅内压(ICP)和格拉斯昏迷评分(GCS),记录伤后 6 个月的格拉斯哥预后评分(GOS)。结果 DC 与 ICP 呈负相关( $r=-0.7795$ , $P<0.01$ ),与 GCS、GOS 呈正相关( $r=0.6675$ , $P<0.01$ ; $r=0.6306$ , $P<0.01$ )。预后良好患者的 DC 均值为  $106.99\pm4.09$ ,预后不良患者的 DC 均值为  $85.26\pm4.45$ ,差异有统计学意义( $P<0.05$ )。结论 DC 具有较好的临床应用价值。

**[关键词]** 脑水肿;颅脑损伤;扰动系数;实时监护

[中图法分类号] R747.9

[文献标识码] A

[文章编号] 1671-8348(2018)13-1737-03

### Application value of non-invasive disturbance coefficient measurement on brain edema in patients with cerebral injury<sup>\*</sup>

LEI Qingmei<sup>1</sup>,WANG Shanshan<sup>2</sup>,CHENG Jinmei<sup>3</sup>,ZHONG Longhe<sup>2</sup>,BAO Yun<sup>4</sup>,  
PENG Xiaojie<sup>5</sup>,TANG Chunhai<sup>4</sup>,ZHU Yafang<sup>1</sup>,ZHOU Hongzhen<sup>1△</sup>

(1. Nanfang Hospital, Southern Medical University, Guangzhou, Guangdong 510515, China; 2. First College of Clinical Medicine, Southern Medical University, Guangzhou, Guangdong 510515, China;  
3. School of Laboratory Medicine and Biotechnology, Southern Medical University, Guangzhou, Guangdong 510515, China; 4. Department of Neurosurgery, Nanfang Hospital, Southern Medical University, Guangzhou, Guangdong 510515, China; 5. Department of Intensive Care Unit, Nanfang Hospital, Southern Medical University, Guangzhou, Guangdong 510515, China)

**[Abstract]** Objective To explore the application disturbance coefficient (DC) value of noninvasive brain edema monitoring in patients after traumatic brain injury. Methods A total of 54 cerebral injury patients were performed by non-invasive brain edema monitoring from June to November 2016. The essential information, DC, intracranial pressure (ICP), and 6-month-later glasgow outcome score (GOS) were collected. Results DC was negatively correlated with ICP ( $r=-0.7795$ ,  $P<0.01$ ), and it was positively correlated with glasgow coma scale (GCS) and GOS ( $r=0.6675$ ,  $P<0.01$ ;  $r=0.6306$ ,  $P<0.01$ ). The mean of DC with good prognosis patients was  $106.99\pm4.09$ , and that of the poor prognosis patients was  $85.26\pm4.45$ , the difference was statistically significant ( $P<0.05$ ). Conclusion DC has a good clinical application value.

**[Key words]** brain edema; craniocerebral trauma; disturbance coefficient; real-time monitoring

脑水肿是创伤性脑损伤后常见的继发性疾病,同时是导致高病死率和预后不良的主要因素之一<sup>[1-2]</sup>。脑损伤患者继发脑水肿及血流动力学的改变,这可能会损害涉及呼吸和心脏功能的重要脑区<sup>[3]</sup>。目前临  
床上颅内压(intracranial pressure, ICP)监测方法均不能很好地对脑水肿变化做直观反映<sup>[4]</sup>,部分患者因缺乏理想的监测手段而难以判断病情,影响预后。无创脑水肿动态监护仪检测结果稳定可靠,可能对于指导临床治疗和预后有重要意义。因此本研究探讨采

用扰动系数(disturbance coefficient, DC)对颅脑损伤患者进行无创动态测量脑水肿的变化及其与 ICP 的关系,以评估 DC 测量颅脑损伤后早期脑水肿的能力,现报道如下。

### 1 资料与方法

**1.1 一般资料** 选择 2016 年 6—11 月本院 54 例颅脑损伤患者,其中男 45 例,女 9 例,年龄 16~56 岁,平均( $34.26\pm13.20$ )岁。受伤原因:交通伤 27 例,高处坠落伤 7 例,摔伤 15 例,外物砸伤 5 例。纳入标

\* 基金项目:广东省科技计划项目(2017A030303021、2016A020213006);广州市科技计划项目(201803010084)。作者简介:雷清梅(1992—),在读硕士,主要从事神经重症护理研究。△ 通信作者,E-mail:zhouhz2005@126.com。

准:(1)有明确的头部创伤史;(2)征得研究对象知情同意,自愿参加研究。排除标准:(1)年龄小于 15 岁或大于 75 岁;(2)双瞳散大固定、无自主呼吸;(3)复苏后收缩压小于 90 mm Hg;(4)既往有严重的心脏、肺、脑等基础疾病,或合并严重心脏、肾脏、肝脏疾病而无法耐受无创性脑水肿监测的患者;(5)凝血异常,活动性出血,或出血高风险的患者;(6)心力衰竭、心律失常患者;(7)已知的严重感染;(8)合并妊娠的患者、哺乳期患者;(9)去骨瓣手术患者骨瓣面积较大影响 DC 监测或影响粘贴电极者;(10)研究者认为其他不能配合完成无创性脑水肿监测的情况(烦躁、精神异常等)。

**1.2 方法** 采用无创脑水肿动态监护仪(型号 BORN-BE-III,重庆博恩富克医疗设备有限公司)动态监测患者头颅的 DC,并行有创 ICP 监测。电极片贴在大脑两侧的翼点处,同侧并排粘贴两个电极片。监测方式,(1)间断监护:设备 1 次监护时间默认 15 min,可根据需要自行调整(最短 10 min),每天监护 2~3 次;(2)连续监护:1 次监护时间持续 4 h,可连续多次监护;(3)静脉输注脱水药物前监护 30 min,使用后监护 4 h;(4)电极片粘贴时间最长不超过 6 h,中途可以更换电极片后继续监护。根据患者实际情况进行无创脑水肿动态监护。无创脑水肿监护仪电极片粘贴的注意事项:(1)粘贴部位须剃光毛发,并进行乙醇脱脂;(2)严格按照仪器操作说明粘贴电极片;(3)粘贴手法为米字法,电极须粘贴到位,否则会导致检测数据不准确;(4)开封后电极存放时间,为 15~30 d,杜绝使用过期电极;(5)粘贴位置为翼点附近。若开颅手术且创口不大,利用换药,可以在创口两侧粘贴电极,须注意消毒。创口较大者在术后数天伤口愈合较好时可继续监护。需要在术后立即监护的可灵活选择上下倒置的粘贴位置,尽量避开创口,注意消毒。所有患者均给予神经外科重症常规治疗方案:主要原则参考第 3 版重型颅脑损伤救治指南<sup>[5]</sup>;实施脑保护和系统脏器功能保护目标治疗策略。在 ICP 监测下,实施降 ICP 的阶梯治疗措施。同时实施维持脑灌注治疗、镇痛镇静、机械通气、容量及液体治疗、改善微循环治疗、血糖控制、营养治疗、深静脉血栓预防、应激性溃疡预防、感染预防及治疗。每隔 60 min 观察患者的临床症状、意识状态、瞳孔、生命体征及动态记录 DC 监测数值。根据病情需要进行常规头颅 CT 检查,病情出现明显变化时随时复查 CT。伤后 6 个月,采用格拉斯哥预后评分(glasgow outcome score, GOS)作为判断标准对患者的预后进行评估。

**1.3 统计学处理** 采用 SPSS20.0 软件和 GraphPad Prism 5 软件进行数据分析,计量资料用  $\bar{x} \pm s$  表示,比较采用 t 检验,相关性采用 Spearman 分析,以  $P < 0.05$  为差异有统计学意义。

## 2 结 果

**2.1 DC 与 ICP 相关性分析** 每个患者选择稳定的

最低 DC 与同一个时间点的 ICP 进行相关性分析,Spearman 相关分析显示,DC 与 ICP 呈负相关( $r = -0.7795, P < 0.01$ ),患者 DC 越低 ICP 越高,见图 1。

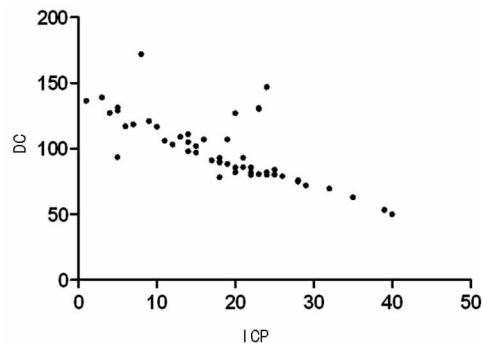


图 1 DC 与 ICP 相关性

**2.2 DC 与格拉斯昏迷评分(glasgow coma scale, GCS)的相关性分析** 患者入院时 GCS 评分 3~5 分 10 例,6~8 分 25 例,9~10 分 19 例。患者入院 GCS 评分与稳定的最低 DC 进行相关性分析,Spearman 相关分析显示,DC 与 GCS 评分呈正相关( $r = 0.6675, P < 0.01$ ),患者 DC 越低 GCS 评分越低,见图 2。

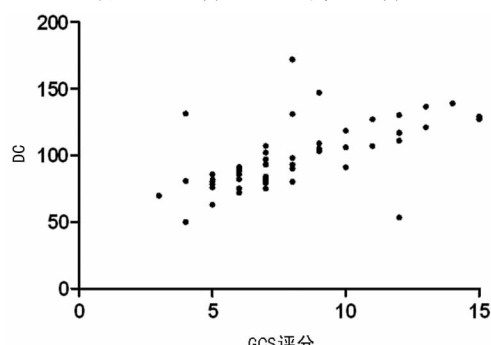


图 2 DC 与 GCS 评分的相关性

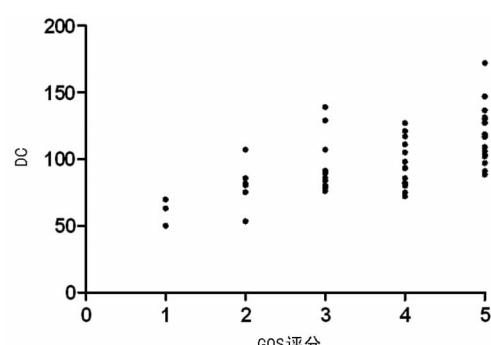


图 3 DC 与 GOS 评分的相关性

**2.3 DC 与 GOS 的相关性分析** 对所有死亡病例进行记录,存活者在伤后 6 个月进行 GOS 预后评分,恢复良好 16 例(29.6%),轻度残疾 16 例(29.6%),重度残疾 13 例(24.1%),植物生存 6 例(11.1%),死亡 3 例(5.6%)。Spearman 相关分析显示,DC 与脑创伤患者的预后呈正相关( $r = 0.6306, P < 0.01$ ),患者 DC 越低预后越差,见图 3。

**2.4 不同预后患者 DC 比较** 预后良好患者的 DC 均值为  $106.99 \pm 4.09$ ,预后不良患者的 DC 均值为  $85.26 \pm 4.45$ ,两组间比较差异有统计学意义( $P <$

0.05), 见图 4。

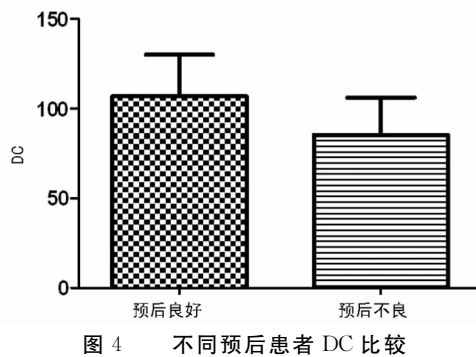


图 4 不同预后患者 DC 比较

### 3 讨 论

创伤性脑损伤是中青年死亡和致残的主要原因之一<sup>[6]</sup>。造成患者脑组织再损伤的重要原因是颅脑损伤后继发脑水肿导致 ICP 增高<sup>[7]</sup>。脑水肿是常见的急症神经病学状态, 是脑细胞内外的液体积聚过多的一种临床状态<sup>[8-9]</sup>。在所有创伤性脑损伤患者中, 大脑水肿病死率可占总死亡率的一半<sup>[10]</sup>。脑水肿使颅内容积增加, 扰乱微循环, 增高 ICP, 加重脑损害。这也是导致重症患者高致残率和高病死率的主要原因<sup>[11]</sup>。正确及时评价脑水肿和血肿, 是关系到许多重危患者预后和重症监护及抢救治疗成败的关键。ICP 升高与病死率、临床预后不良等相关, 与患者结局有密切联系, 因此, 脑水肿的早期诊断和治疗可显著改善颅脑损伤患者的预后。

目前, CT 和磁共振(MRI)是脑水肿的常规诊断方法<sup>[12]</sup>。然而, 这些成像技术不能用于连续监测。ICP 监测技术仍被认为是金标准<sup>[6]</sup>, 但其使用过程中存在并发症风险, 且价格昂贵, 其局限性包括监测期短、定位不准确等<sup>[13]</sup>。理想的无创技术相对低廉, 并可以连续监测。但现有的无创监测手段, 如临床症状评估、评估脑血流动力学特性的方法, 并不能准确反映脑水肿变化, 因此, 需要一个动态的技术来实现这一目的。

本研究结果显示, DC 与 ICP 呈负相关, 患者 DC 越低 ICP 越高, 表明 DC 能预测 ICP 变化。一般认为, GCS 能较好地客观判断患者意识情况。本研究中, DC 与 GCS 呈正相关, 表明脑水肿严重程度可反映受伤严重程度。GOS 是判断患者预后的客观工具, 本研究所提出 DC 与脑创伤患者的预后呈正相关, 预后良好患者的 DC 均值高于预后不良患者的 DC 均值, 差异有统计学意义( $P < 0.05$ ), 表明脑水肿严重程度可预测预后。

综上所述, 患者脑水肿是影响 ICP 的重要因素, 通过 DC 能直接反映脑水肿情况, 其可作为脑水肿的监测手段。

### 参考文献

[1] BLIXT J, SVENSSON M, GUNNARSON E, et al. Aquaporins and blood-brain barrier permeability in early edema development after traumatic brain injury[J]. Brain Res, 2015, 1611: 18-28.

- [2] STEIN S C, GEORGOFF P, MEGHAN S, et al. 150 years of treating severe traumatic brain injury: a systematic review of progress in mortality[J]. J Neurotrauma, 2010, 27(7): 1343-1353.
- [3] DONKIN J J, VINK R. Mechanisms of cerebral edema in traumatic brain injury: therapeutic developments[J]. Curr Opin Neurol, 2010, 23(3): 293-299.
- [4] HE L Y, WANG J, LUO Y, et al. Application of non-invasive cerebral electrical impedance measurement on brain edema in patients with cerebral infarction[J]. Neurol Res, 2010, 32(7): 770-774.
- [5] FOUNDATION B T, BRATTON S L, CHESTNUT R M, et al. Guidelines for the management of severe traumatic brain injury. IX. Cerebral perfusion thresholds[J]. J Neurotrauma, 2007, 24 (Suppl 1): S59-64.
- [6] POTAPOV A A, KRYLOV V V, GAVRILOV A G, et al. Guidelines for the diagnosis and treatment of severe traumatic brain injury. part 2. intensive care and neuro-monitoring[J]. Zh Vopr Neirokhir Im N N Burdenko, 2016, 80(1): 98-106.
- [7] KRISTIANSSON H, NISSLBORG E, JR B J, et al. Measuring elevated intracranial pressure through noninvasive methods: a review of the literature[J]. J Neurosurg Anesthesiol, 2013, 25(4): 372-385.
- [8] STOVER J F, STOCKER R. Intensive care treatment options of elevated intracranial pressure following severe traumatic brain injury[M]. Springer-Verlag Berlin Heidelberg: Head, thoracic, abdominal, and vascular, injuries, 2011: 93-152.
- [9] BELLI A, SEN J, PETZOLD A, et al. Metabolic failure precedes intracranial pressure rises in traumatic brain injury: a microdialysis study[J]. Acta Neurochir, 2008, 150(5): 461-469.
- [10] MARMAROU A. Pathophysiology of traumatic brain edema: current concepts[J]. Acta Neurochir, 2003, 86(1): 7-10.
- [11] HAN J, YANG S, ZHANG C, et al. Impact of intracranial pressure monitoring on prognosis of patients with severe traumatic brain injury: a PRISMA systematic review and meta-analysis[J]. Medicine, 2016, 95(7): e2827.
- [12] HO M L, ROJAS R, EISENBERG R L. Cerebral edema [J]. AJR Am J Roentgenol, 2012, 199(3): 258-273.
- [13] KAWOOS U, MCCARRON R M, AUKE C R, et al. Advances in intracranial pressure monitoring and its significance in managing traumatic brain injury[J]. Int J Mol Sci, 2015, 16(12): 28979-28997.

(收稿日期:2017-10-19 修回日期:2017-12-27)